

Precessão de Thomas

Pedro Diniz

Sumário

- Introdução;
- Descrição do efeito;
- Interpretação geométrica;
- Aplicação: Átomo de Hidrogênio;

Introdução

- 1925 - Uhlenbeck e Goudsmit : Spin

😊 Zeeman

😞 Estrutura fina

- 1926 – Thomas : Efeito relativístico 🤔



Llewellyn Thomas

Precessão de Thomas

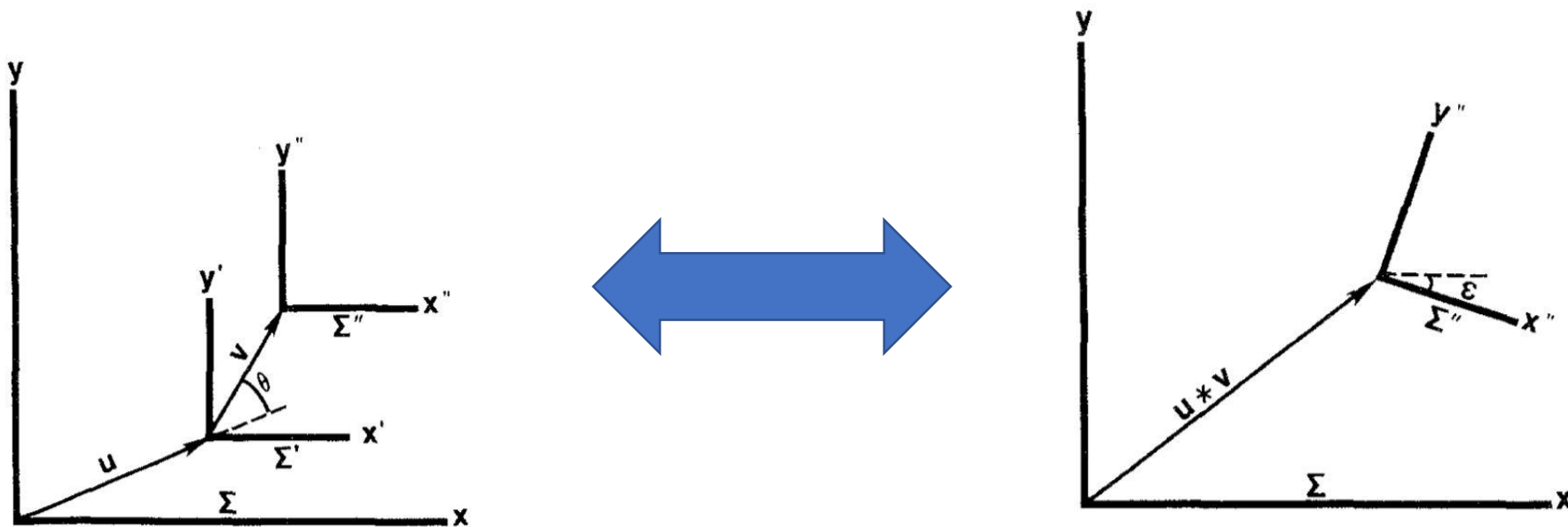
- Efeito de precessão do momento angular de um sistema se movendo ao longo de uma trajetória curva.

Frequência de precessão de Thomas:

$$\omega_{Thomas} = (\gamma - 1) \left| \frac{(\mathbf{v} \times \mathbf{a})}{v^2} \right|$$

Rotação de Thomas

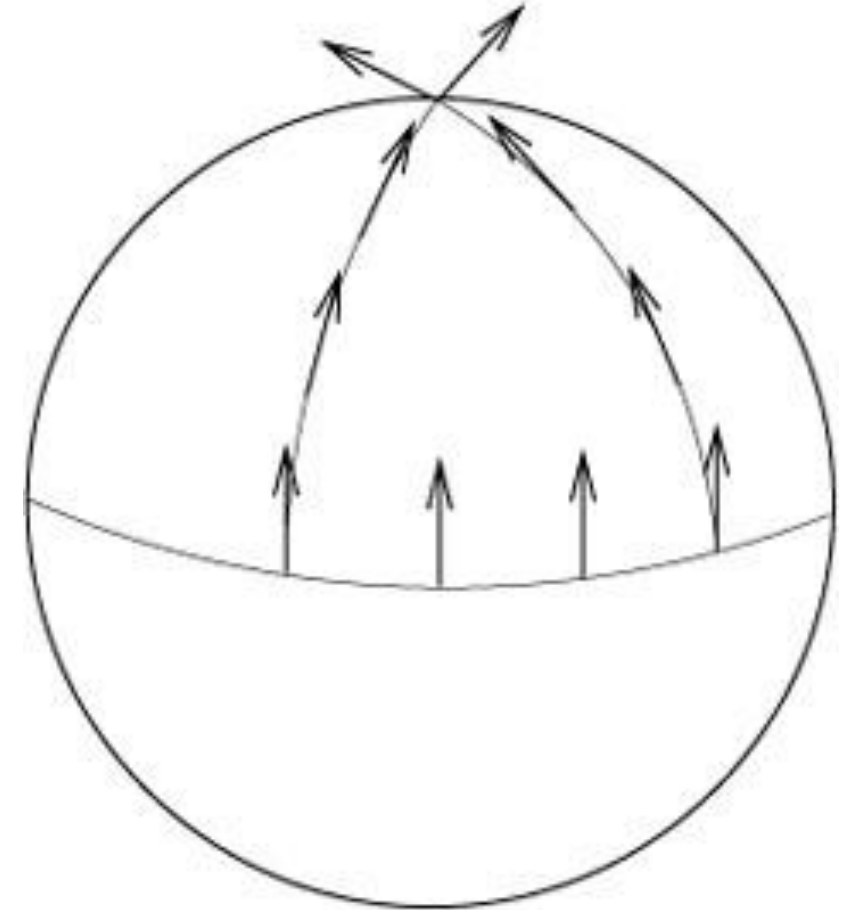
- A composição de dois boosts equivale à composição de um boost com uma rotação espacial:



Fase Geométrica

- Transporte paralelo;
- Teorema de Gauss-Bonnet:

Fase geométrica = Área



Transporte paralelo numa superfície esférica

Espaço de velocidades

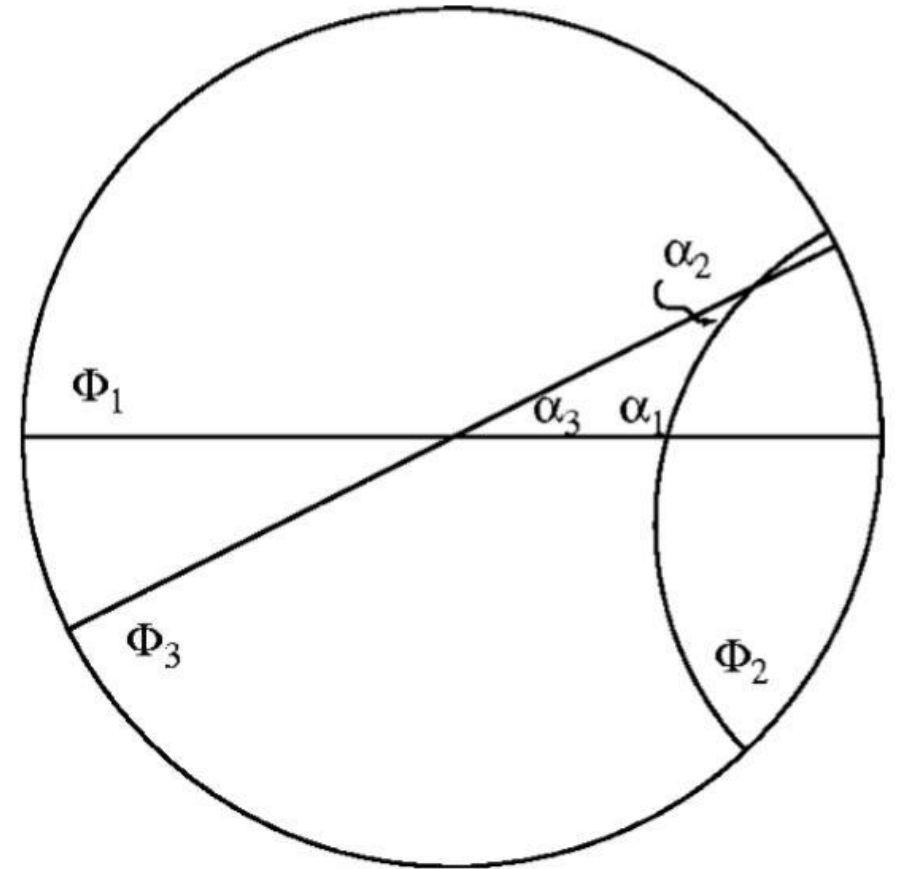
- Elemento de linha:

$$ds^2 = \left(\frac{2}{1-r^2}\right)^2(dx^2 + dy^2)$$

- Coordenadas e ângulos:

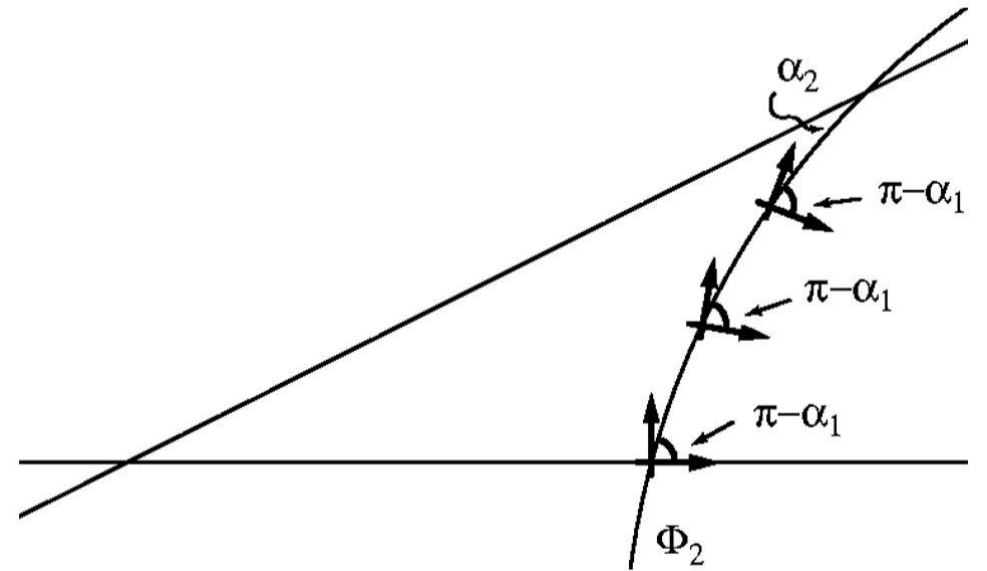
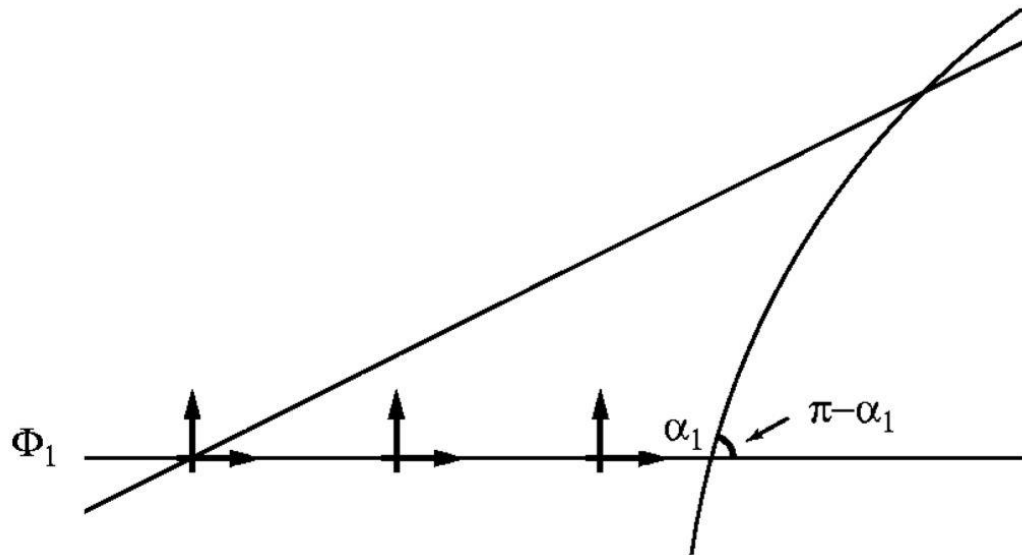
$$x = \left(\frac{\gamma}{\gamma+1}\right)\beta_x \quad \arctan \frac{v_x}{v_y} = \arctan \frac{x}{y}$$

- Geodésicas representam boosts



Espaço de velocidades relativístico

Rotação de Thomas



Transporte paralelo no espaço de velocidades

Fase geométrica = Área = Integral de linha

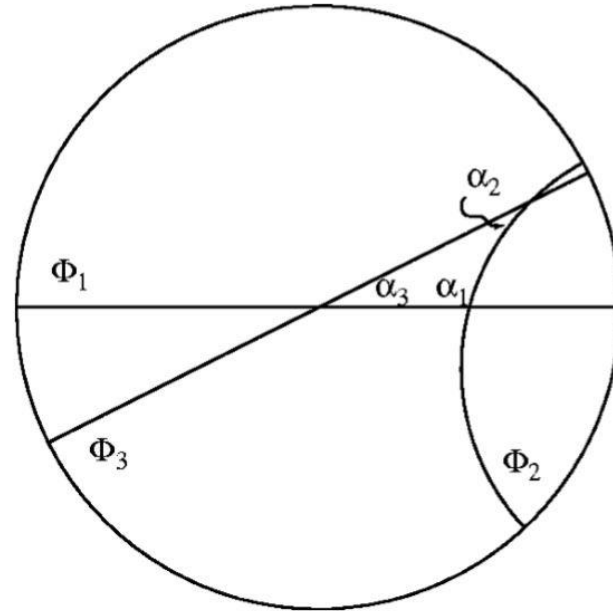
Teorema de Green:

$$\oint_C \mathbf{F} \cdot d\mathbf{s} = \int \int_{\Sigma} \nabla \times \mathbf{F} \cdot \hat{n} d\sigma$$

Escolha conveniente de \mathbf{F}



$$\int_{\Phi_2} \left(\frac{2r^2}{1-r^2} \right) d\theta = \text{Area}(\Sigma)$$



Obtenção da frequência de Thomas

$$\left| \oint_C \left(\frac{2}{1-r^2} \right) (x dy - y dx) \right| = \oint_C \left(\frac{2}{1-r^2} \right) |(\mathbf{r} \times d\mathbf{r}) \cdot \hat{\mathbf{k}}|$$



$$\oint_C \left(\frac{2r^2}{1-r^2} \right) \left| \frac{(\mathbf{r} \times d\mathbf{r}) \cdot \hat{\mathbf{k}}}{r^2} \right| = \oint_C (\gamma - 1) \left| \frac{(\mathbf{v} \times d\mathbf{v}) \cdot \hat{\mathbf{k}}}{v^2} \right|$$



$$d\psi = (\gamma - 1) \left| \frac{(\mathbf{v} \times d\mathbf{v}) \cdot \hat{\mathbf{k}}}{v^2} \right| = (\gamma - 1) \left| \frac{(\mathbf{v} \times \mathbf{a}) \cdot \hat{\mathbf{k}}}{v^2} \right| dt$$



$$\boxed{\frac{d\psi}{dt} := \omega_{Thomas} = (\gamma - 1) \left| \frac{(\mathbf{v} \times \mathbf{a}) \cdot \hat{\mathbf{k}}}{v^2} \right|}$$

Aplicação: Átomo de Hidrogênio

Força sentida pelo elétron:

$$e\mathbf{E} = -\frac{\mathbf{r}}{r} \frac{dV(r)}{dr}$$

Frequência de Thomas:

$$\omega_{Thomas} = (\gamma - 1) \left| \frac{\mathbf{v} \times \mathbf{a}}{v^2} \right|$$

The diagram illustrates the derivation of the Thomas precession frequency for a hydrogen atom. It starts with the force on the electron, $e\mathbf{E} = -\frac{\mathbf{r}}{r} \frac{dV(r)}{dr}$, and the Thomas frequency formula, $\omega_{Thomas} = (\gamma - 1) \left| \frac{\mathbf{v} \times \mathbf{a}}{v^2} \right|$. A blue arrow points from these two equations to the final approximation: $\omega_{Thomas} \approx \frac{-\mathbf{r} \times \mathbf{v}}{2mrc^2} \frac{dV}{dr} = \frac{-1}{2rm^2c^2} \mathbf{L} \frac{dV}{dr}$.

$$\omega_{Thomas} \approx \frac{-\mathbf{r} \times \mathbf{v}}{2mrc^2} \frac{dV}{dr} = \frac{-1}{2rm^2c^2} \mathbf{L} \frac{dV}{dr}$$

Aplicando um campo magnético

Momento magnético do elétron:

$$\mu = \frac{ge}{2mc} s$$



Torque no referencial de repouso

$$\tau' = \mu \times B'$$

Transformação de Lorentz do campo

$$\mathbf{B}' = \gamma(\mathbf{B} - \boldsymbol{\beta} \times \mathbf{E}) - \frac{\gamma^2}{\gamma + 1} \boldsymbol{\beta}(\boldsymbol{\beta} \cdot \mathbf{B})$$



Primeira ordem em v/c

$$\mathbf{B}' \approx \mathbf{B} - \frac{\mathbf{v} \times \mathbf{E}}{c}$$

Torque entre referenciais

Relação entre a taxa de variação de vetores em referenciais que apresentam um movimento relativo de rotação:

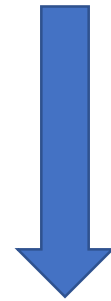
$$\boldsymbol{\tau} = \boldsymbol{\mu} \times \mathbf{B}' + \boldsymbol{\omega}_{Thomas} \times \mathbf{s}$$



$$\mathcal{U} = -\boldsymbol{\mu} \cdot \mathbf{B}' + \mathbf{s} \cdot \boldsymbol{\omega}_{Thomas}$$

Correção na energia

$$\mathcal{U} = -\boldsymbol{\mu} \cdot \mathbf{B}' + \mathbf{s} \cdot \boldsymbol{\omega}_{Thomas}$$



$$\mathbf{B}' \approx \mathbf{B} - \frac{\mathbf{v} \times \mathbf{E}}{c}$$

$$\mathcal{U} = -\boldsymbol{\mu} \cdot \left(\mathbf{B} - \frac{\mathbf{v}}{c} \times \mathbf{E} \right) + \mathbf{s} \cdot \boldsymbol{\omega}_{Thomas}$$

Energia

$$\mathcal{U} = -\boldsymbol{\mu} \cdot \left(\mathbf{B} - \frac{\mathbf{v}}{c} \times \mathbf{E} \right) + \mathbf{s} \cdot \boldsymbol{\omega}_{\text{Thomas}}$$

$$\boldsymbol{\omega}_{\text{Thomas}} \approx \frac{-\mathbf{r} \times \mathbf{v}}{2mrc^2} \frac{dV}{dr} = \frac{-1}{2rm^2c^2} \mathbf{L} \frac{dV}{dr}$$

$$\mathcal{U} = -\frac{ge}{2mc} \mathbf{s} \cdot \mathbf{B} + \frac{(g-1)}{2m^2c^2} (\mathbf{s} \cdot \mathbf{L}) \frac{1}{r} \frac{dV}{dr}$$

$$\mathcal{U}_{\text{sem precessao}} = -\frac{ge}{2mc} \mathbf{s} \cdot \mathbf{B} + \frac{g}{2m^2c^2} (\mathbf{s} \cdot \mathbf{L}) \frac{1}{r} \frac{dV}{dr}$$

Conclusão

- Referenciais que se movem ao longo de trajetórias curvilíneas rotacionam segundo a precessão de Thomas.
- Este efeito pode ser interpretado como um efeito de fase geométrica. Sob essa visão a obtenção da frequência de Thomas é simples.
- É notável como um efeito relativístico tão obscuro pode ter tanta relevância prática, como foi mostrado na análise da energia de um elétron no átomo de hidrogênio.

Referências

- H. Goldstein, C. Poole, and J. Safko. Classical Mechanics. Addison Wesley, 2002.
- D. Griffiths. Introduction to Electrodynamics. Prentice Hall, 1999.
- J. Jackson. Classical Electrodynamics. Wiley, 2012.
- J. A. Rhodes and M. D. Semon. Relativistic velocity space, wigner rotation, and thomas precession. American Journal of Physics, 72(7):943–960, 2004.
- K. Tapp. Differential Geometry of Curves and Surfaces. Undergraduate Texts in Mathematics. Springer International Publishing, 2016.
- L. H. Thomas. The motion of the spinning electron. Nature, 117(2945):514–514, 1926.